



等温捷径与绝热捷径构成的类卡诺热机的效率与功率

龚政楠

北京师范大学

2021 年 3 月 23 日



目录



引言：热机的功率与效率问题



引言：热机的功率与效率问题

- 1824, 卡诺指出^[?]: 工作在相同高温热源和相同低温热源的所有热机中, 以可逆热机的效率最高, 为 $\eta_C = 1 - \frac{c}{h}$



引言：热机的功率与效率问题

- 1824, 卡诺指出^[?]: 工作在相同高温热源和相同低温热源的所有热机中, 以可逆热机的效率最高, 为 $\eta_C = 1 - \frac{c}{h}$
- 1975 年, Curzon 和 Ahlborn 研究了内可逆热机^[?], 得到了该热机在最大功率下的效率为 $\eta_{CA} = 1 - \sqrt{1 - \eta_C}$



引言：热机的功率与效率问题

- 1824, 卡诺指出^[?]: 工作在相同高温热源和相同低温热源的所有热机中, 以可逆热机的效率最高, 为 $\eta_C = 1 - \frac{c}{h}$
- 1975 年, Curzon 和 Ahlborn 研究了内可逆热机^[?], 得到了该热机在最大功率下的效率为 $\eta_{CA} = 1 - \sqrt{1 - \eta_C}$
- 2008 年, T. Schmiedl 和 U. Seifert 提出了布朗随机热机模型^[?], 最大功率下的效率为 $\frac{2\eta_C}{4 - \eta_C}$



引言：热机的功率与效率问题

- 1824, 卡诺指出 [?]: 工作在相同高温热源和相同低温热源的所有热机中, 以可逆热机的效率最高, 为 $\eta_C = 1 - \frac{c}{h}$
- 1975 年, Curzon 和 Ahlborn 研究了内可逆热机 [?], 得到了该热机在最大功率下的效率为 $\eta_{CA} = 1 - \sqrt{1 - \eta_C}$
- 2008 年, T. Schmiedl 和 U. Seifert 提出了布朗随机热机模型 [?], 最大功率下的效率为 $\frac{2\eta_C}{4 - \eta_C}$
- 同年, 涂展春推导出费曼棘轮热机 [?] 在最大功率下的效率 $\frac{\eta_C^2}{\eta_C - (1 - \eta_C) \ln(1 - \eta_C)}$. [?]



引言：热机的功率与效率问题

- 1824, 卡诺指出 [?]: 工作在相同高温热源和相同低温热源的所有热机中, 以可逆热机的效率最高, 为 $\eta_C = 1 - \frac{c}{h}$
- 1975 年, Curzon 和 Ahlborn 研究了内可逆热机 [?], 得到了该热机在最大功率下的效率为 $\eta_{CA} = 1 - \sqrt{1 - \eta_C}$
- 2008 年, T. Schmiedl 和 U. Seifert 提出了布朗随机热机模型 [?], 最大功率下的效率为 $\frac{2\eta_C}{4 - \eta_C}$
- 同年, 涂展春推导出费曼棘轮热机 [?] 在最大功率下的效率 $\frac{\eta_C^2}{\eta_C - (1 - \eta_C) \ln(1 - \eta_C)}$. [?]
- 2013 年, 涂展春在 Schmiedl 和 Seifert 工作 [?] 的基础上, 考虑了他们在过阻尼情况下忽略的惯性的影响, 构建了一种类卡洛热机 [?]. 发现这种随机热机在最大功率下的效率等于 η_{CA}



CA 内可逆热机模型

Curzon 和 Ahlborn 的假设

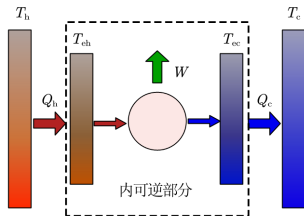


图 1: CA 内可逆热机



CA 内可逆热机模型

Curzon 和 Ahlborn 的假设

- 内可逆假设

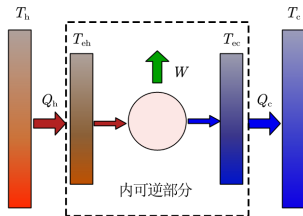


图 1: CA 内可逆热机



CA 内可逆热机模型

Curzon 和 Ahlborn 的假设

- 内可逆假设
- 绝热过程熵产生为零

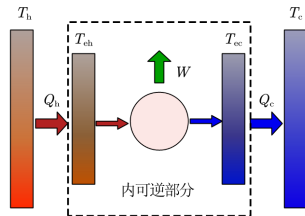


图 1: CA 内可逆热机



CA 内可逆热机模型

Curzon 和 Ahlborn 的假设

- 内可逆假设
- 绝热过程熵产生为零
- 绝热过程与等温过程所用的时间成正比，即循环总时间为 $t_0 = a(t_h + t_c)$

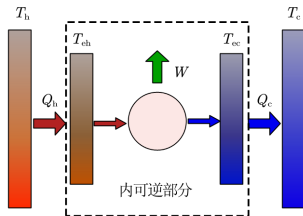


图 1: CA 内可逆热机



CA 内可逆热机模型

Curzon 和 Ahlborn 的假设

- 内可逆假设
- 绝热过程熵产生为零
- 绝热过程与等温过程所用的时间成正比，即循环总时间为 $t_0 = a(t_h + t_c)$
- 线性热传输假设，即

$$\begin{aligned} Q_h &= \kappa_h (T_h - T_{eh}) t_h \\ Q_c &= \kappa_c (T_{ec} - T_c) t_c \end{aligned} \quad (1)$$

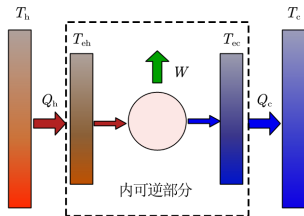


图 1: CA 内可逆热机



CA 内可逆热机模型

CA 热机的功率

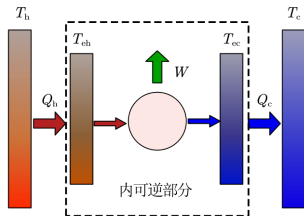


图 1: CA 内可逆热机



CA 内可逆热机模型

CA 热机的功率

输出功率

$$P(T_{eh}, T_{ec}) = \frac{T_{eh} - T_{ec}}{\frac{T_{eh}}{a\kappa_h(T_h - T_{eh})} + \frac{T_{ec}}{a\kappa_c(T_{ec} - T_c)}} \quad (2)$$

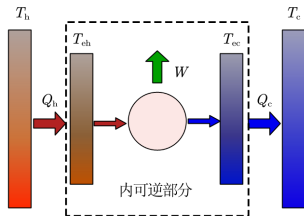


图 1: CA 内可逆热机



CA 内可逆热机模型

CA 热机的功率

输出功率

$$P(T_{eh}, T_{ec}) = \frac{T_{eh} - T_{ec}}{\frac{T_{eh}}{a\kappa_h(T_h - T_{eh})} + \frac{T_{ec}}{a\kappa_c(T_{ec} - T_c)}} \quad (2)$$

针对 T_{eh}, T_{ec} 使功率取最大值

$$T_{eh}^* = \frac{\sqrt{\kappa_h T_h} + \sqrt{\kappa_c T_c}}{\sqrt{\kappa_h} + \sqrt{\kappa_c}} \sqrt{T_h} \quad (3)$$
$$T_{ec}^* = \frac{\sqrt{\kappa_h T_h} + \sqrt{\kappa_c T_c}}{\sqrt{\kappa_h} + \sqrt{\kappa_c}} \sqrt{T_c}$$

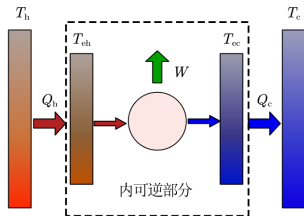


图 1: CA 内可逆热机



CA 内可逆热机模型

CA 热机在最大功率下的效率

根据 $\eta = 1 - T_{\text{ec}}/T_{\text{eh}}$ 就可以得到

$$\eta_{\text{CA}} = 1 - \sqrt{1 - \eta_{\text{C}}} \quad (4)$$



TU 布朗随机热机的假设

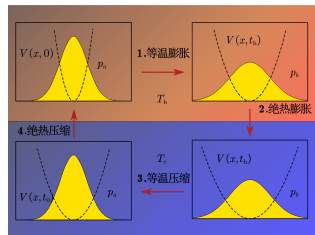


图 2: TU 布朗随机热机模型



TU 布朗随机热机的假设

- 两个绝热过程是在瞬间完成的,
 $t_0 = (t_h + t_c)$

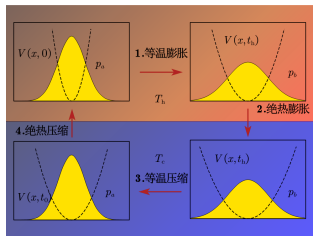


图 2: TU 布朗随机热机模型



TU 布朗随机热机的假设

- 两个绝热过程是在瞬间完成的， $t_0 = (t_h + t_c)$
- 两个绝热过程中不可逆熵产生为零

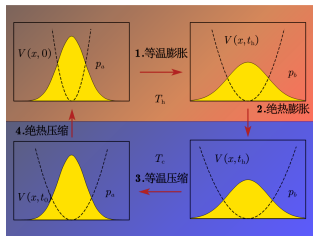


图 2: TU 布朗随机热机模型



TU 布朗随机热机的假设

- 两个绝热过程是在瞬间完成的， $t_0 = (t_h + t_c)$
- 两个绝热过程中不可逆熵产生为零
- 过阻尼假设，不考虑惯性的影响

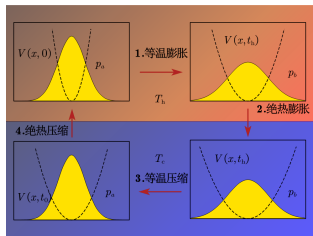


图 2: TU 布朗随机热机模型



TU 布朗随机热机的功率

TU 布朗随机热机

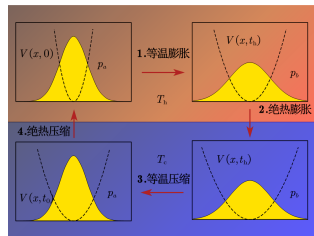


图 2: TU 布朗随机热机模型



TU 布朗随机热机的功率

TU 布朗随机热机

平均功输出

$$-W = (T_h - T_c) \Delta S - (1/t_h + 1/t_c) A_{\text{irr}} \quad (5)$$

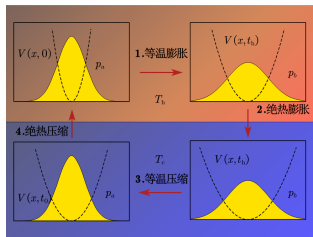


图 2: TU 布朗随机热机模型



TU 布朗随机热机的功率

TU 布朗随机热机

平均功输出

$$-W = (T_h - T_c) \Delta S - (1/t_h + 1/t_c) A_{\text{irr}} \quad (5)$$

吸收热

$$Q = T_h \Delta S - A_{\text{irr}}/t_h \quad (6)$$

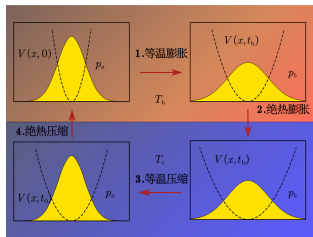


图 2: TU 布朗随机热机模型



TU 布朗随机热机的功率

TU 布朗随机热机

平均功输出

$$-W = (T_h - T_c) \Delta S - (1/t_h + 1/t_c) A_{\text{irr}} \quad (5)$$

吸收热

$$Q = T_h \Delta S - A_{\text{irr}}/t_h \quad (6)$$

功率

$$P = \frac{(T_h - T_c) \Delta S - (1/t_h + 1/t_c) A_{\text{irr}}}{t_h + t_c} \quad (7)$$

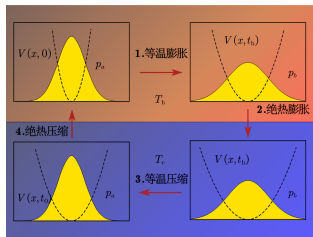


图 2: TU 布朗随机热机模型



TU 布朗随机热机的效率

通过优化 t_1 , t_2 不难得到, 最大功率时的效率为

$$\eta^* = \frac{\eta_C}{2 - \eta_C/2} \quad (8)$$



为了在有限时间内实现平衡态的转化，Demirplak and Rice [?] 和 Berry [?] 独立发展出了绝热捷径的策略。



绝热捷径

为了在有限时间内实现平衡态的转化，Demirplak and Rice [?] 和 Berry [?] 独立发展出了绝热捷径的策略。
依赖于时间缓变的 $H_0(t)$ ，绝热定理 [?]

$$|\psi(t)\rangle = |n(t)\rangle e^{i\theta_n(t)} e^{i\gamma_n(t)},$$
$$\theta_n(t) = -\frac{1}{\hbar} \int_0^t E_n(t') dt', \quad \gamma_n(t) = i \int_0^t \langle n(t') | \partial_{t'} n(t') \rangle dt' \quad (9)$$



绝热捷径

为了在有限时间内实现平衡态的转化，Demirplak and Rice [?] 和 Berry [?] 独立发展出了绝热捷径的策略。
依赖于时间缓变的 $H_0(t)$ ，绝热定理 [?]

$$|\psi(t)\rangle = |n(t)\rangle e^{i\theta_n(t)} e^{i\gamma_n(t)},$$
$$\theta_n(t) = -\frac{1}{\hbar} \int_0^t E_n(t') dt', \quad \gamma_n(t) = i \int_0^t \langle n(t') | \partial_{t'} n(t') \rangle dt' \quad (9)$$

若有 $H(t)$ 使得绝热定理严格成立



绝热捷径

为了在有限时间内实现平衡态的转化, Demirplak and Rice [?] 和 Berry [?] 独立发展出了绝热捷径的策略。
依赖于时间缓变的 $H_0(t)$, 绝热定理 [?]

$$|\psi(t)\rangle = |n(t)\rangle e^{i\theta_n(t)} e^{i\gamma_n(t)},$$
$$\theta_n(t) = -\frac{1}{\hbar} \int_0^t E_n(t') dt', \quad \gamma_n(t) = i \int_0^t \langle n(t') | \partial_{t'} n(t') \rangle dt' \quad (9)$$

若有 $H(t)$ 使得绝热定理严格成立

$$H(t) = H_0(t) + i\hbar \sum_m (|\partial_t m\rangle \langle m| - \langle m | \partial_t m \rangle |m\rangle \langle m|)$$
$$\equiv H_0 + H_1 \quad (10)$$



绝热捷径

在经典的情形下，对于随时间缓变的 $H_0(t)$ ，也可以引入辅助哈密顿量 $H_1(t)$ ，使得绝热不变量严格守恒

$$I(E, \lambda) \equiv \int d\eta \theta [E - H_0(z; \lambda)] \quad (11)$$



绝热捷径

在经典的情形下，对于随时间缓变的 $H_0(t)$ ，也可以引入辅助哈密顿量 $H_1(t)$ ，使得绝热不变量严格守恒

$$I(E, \lambda) \equiv \int d\eta \theta [E - H_0(z; \lambda)] \quad (11)$$

谐振子势场中的辅助势

根据 Jarzynski 的计算^[?]，对于依赖于时间的谐振子势

$$H_0(\eta; \lambda(t)) = \frac{p^2}{2} + \frac{q^2}{2\lambda(t)^2} \quad (12)$$



在经典的情形下，对于随时间缓变的 $H_0(t)$ ，也可以引入辅助哈密顿量 $H_1(t)$ ，使得绝热不变量严格守恒

$$I(E, \lambda) \equiv \int d\eta \theta [E - H_0(z; \lambda)] \quad (11)$$

谐振子势场中的辅助势

根据 Jarzynski 的计算^[?]，对于依赖于时间的谐振子势

$$H_0(\eta; \lambda(t)) = \frac{p^2}{2} + \frac{q^2}{2\lambda(t)^2} \quad (12)$$

其相应的辅助势为

$$H_1(\eta; \lambda(t)) = \frac{\dot{\lambda}}{2\lambda} qp \quad (13)$$



利用绝热捷径实现平衡态的转化

考虑谐振子势式(??)，施加辅助哈密顿量之后的新哈密顿量为

$$H(t) = \frac{p^2}{2} + \frac{q^2}{2\lambda(t)^2} + \frac{\dot{\lambda}}{2\lambda(t)} qp, \quad (14)$$



利用绝热捷径实现平衡态的转化

考虑谐振子势式(??)，施加辅助哈密顿量之后的新哈密顿量为

$$H(t) = \frac{p^2}{2} + \frac{q^2}{2\lambda(t)^2} + \frac{\dot{\lambda}}{2\lambda(t)} qp, \quad (14)$$

可以得到运动方程

$$\begin{cases} \dot{q} = \frac{\partial H}{\partial p} = \frac{p}{m} + \frac{\lambda(t)}{2\lambda(t)} q \\ \dot{p} = -\frac{\partial H}{\partial q} = -2\frac{q}{\lambda^2(t)} - \frac{\dot{\lambda}(t)}{2\lambda(t)} p \end{cases} \quad (15)$$



利用绝热捷径实现平衡态的转化

平衡态的转化

设初态为平衡态

$$\rho_i = \frac{\beta_i}{2\pi\lambda_i} \exp[-\beta_i H_0(t_i)] \quad (16)$$



利用绝热捷径实现平衡态的转化

平衡态的转化

设初态为平衡态

$$\rho_i = \frac{\beta_i}{2\pi\lambda_i} \exp[-\beta_i H_0(t_i)] \quad (16)$$

假设末态为等效温度为 β_f 的平衡态

$$\rho_f = \frac{\beta_f}{2\pi\lambda_f} \exp[-\beta_f H_0(t_f)] \quad (17)$$



利用绝热捷径实现平衡态的转化

平衡态的转化

设初态为平衡态

$$\rho_i = \frac{\beta_i}{2\pi\lambda_i} \exp[-\beta_i H_0(t_i)] \quad (16)$$

假设末态为等效温度为 β_f 的平衡态

$$\rho_f = \frac{\beta_f}{2\pi\lambda_f} \exp[-\beta_f H_0(t_f)] \quad (17)$$

鉴于 $\rho_f = \rho_i$, $\frac{dH_0(t)}{dt} = -H_0(t) \frac{d \ln \lambda(t)}{dt}$, 得到 [?]

$$\frac{\beta_f}{\lambda_f} = \frac{\beta_i}{\lambda_i} \quad (18)$$



为了实现等温平衡态之间的相互转化，类似于绝热捷径，李耿等人^[?] 发展出了等温捷径的策略。



为了实现等温平衡态之间的相互转化，类似于绝热捷径，李耿等人^[?] 发展出了等温捷径的策略。

为系统施加一个额外的辅助势场，使得哈密顿量成为

$$H(q, p, t) = H_0(q, p, \lambda(t)) + U_1(q, p, t) \quad (19)$$



为了实现等温平衡态之间的相互转化，类似于绝热捷径，李耿等人^[7]发展出了等温捷径的策略。

为系统施加一个额外的辅助势场，使得哈密顿量成为

$$H(q, p, t) = H_0(q, p, \lambda(t)) + U_1(q, p, t) \quad (19)$$

分布函数 $\rho(q, p, t)$ 的演化由福克-普朗克方程决定

$$\frac{\partial \rho}{\partial t} + \nabla \cdot \mathbf{J} = 0 \quad (20)$$
$$\mathbf{J} \equiv \rho \left(p + \frac{\partial U}{\partial p} \right) \hat{\mathbf{q}} - \rho \left(\gamma p + \frac{\partial U}{\partial q} + \frac{\partial U}{\partial p} + \frac{\gamma}{\rho \beta} \frac{\partial \rho}{\partial p} \right) \hat{\mathbf{p}}$$



等温平衡态的转化

系统在原哈密顿下的瞬时平衡态

$$\rho(q, p, t) = e^{\beta[F(\lambda(t)) - H_0(x, p, \lambda(t))]} \quad (21)$$



等温平衡态的转化

系统在原哈密顿下的瞬时平衡态

$$\rho(q, p, t) = e^{\beta[F(\lambda(t)) - H_0(x, p, \lambda(t))]} \quad (21)$$

要使系统始终保持瞬时平衡态，将上式(??)代入方程(??)，得到 [?]

$$\frac{\gamma}{\beta} \frac{\partial^2 U_1}{\partial p^2} - \gamma p \frac{\partial U_1}{\partial p} + \frac{\partial U_0}{\partial q} \frac{\partial U_1}{\partial p} - p \frac{\partial U_1}{\partial q} = \left(\frac{dF}{d\lambda} - \frac{\partial U_0}{\partial \lambda} \right) \dot{\lambda} \quad (22)$$



等温平衡态的转化

系统在原哈密顿下的瞬时平衡态

$$\rho(q, p, t) = e^{\beta[F(\lambda(t)) - H_0(x, p, \lambda(t))]} \quad (21)$$

要使系统始终保持瞬时平衡态，将上式(??)代入方程(??)，得到 [?]

$$\frac{\gamma}{\beta} \frac{\partial^2 U_1}{\partial p^2} - \gamma p \frac{\partial U_1}{\partial p} + \frac{\partial U_0}{\partial q} \frac{\partial U_1}{\partial p} - p \frac{\partial U_1}{\partial q} = \left(\frac{dF}{d\lambda} - \frac{\partial U_0}{\partial \lambda} \right) \dot{\lambda} \quad (22)$$

利用上式(??)也可以得到，对谐振子势 $U_0(q, \lambda(t)) = q^2/2\lambda(t)^2$

$$U_1(q, p, t) = -\frac{\dot{\lambda}(t)}{2\gamma\lambda(t)} [(p - \gamma q)^2 + q^2/\lambda(t)^2] \quad (23)$$



哈密顿量为 $H = \frac{p^2}{2} + U_0(q, \lambda(t)) + U_1(q, p, t)$, 其全微分

$$dH = \left(\dot{p}p + \dot{q}\frac{\partial U_0}{\partial q} + \dot{p}\frac{\partial U_1}{\partial p} + \dot{q}\frac{\partial U_1}{\partial q} \right) dt + \left(\dot{\lambda}\frac{\partial U_0}{\partial \lambda} + \frac{\partial U_1}{\partial t} \right) dt \quad (24)$$

定义沿着轨道的能量差 Δe [?], 输入功 w [?,?,?], 吸收热 \bar{q}

$$\Delta e \equiv H(t_f) - H(t_i), \quad w \equiv \int_{t_i}^{t_f} dt \left(\dot{\lambda}\frac{\partial U_0}{\partial \lambda} + \frac{\partial U_1}{\partial t} \right), \quad (25)$$
$$\bar{q} \equiv \int_{t_i}^{t_f} dt \left(\dot{p}p + \dot{q}\frac{\partial U}{\partial q} + \dot{p}\frac{\partial U}{\partial p} \right)$$



对 Δe , w , \bar{q} 求系综平均得

$$\Delta E \equiv \langle \Delta e \rangle = \int dq \int dp (H\rho) \Big|_{t_i}^{t_f} \quad (26)$$

$$W \equiv \langle w \rangle = \int_{t_i}^{t_f} dt \int dq \int dp \left[\rho \left(\dot{\lambda} \frac{\partial U_0}{\partial \lambda} + \frac{\partial U_1}{\partial t} \right) \right] \quad (27)$$

$$Q \equiv \langle \bar{q} \rangle = - \int_{t_i}^{t_f} dt \int dq \int dp \gamma \rho \left(p + \frac{\partial U}{\partial p} \right) \left(p + \frac{\partial U}{\partial p} + \frac{1}{\beta \rho} \frac{\partial \rho}{\partial p} \right) \quad (28)$$



类卡诺热机模型的假设

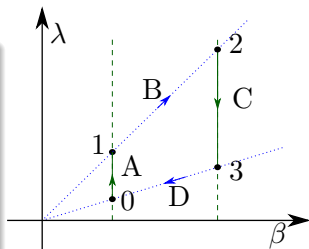


图 3: 类卡诺热机模型



类卡诺热机效率

类卡诺热机模型的假设

- 采用依赖于时间的谐振子势

$$U_0 = q^2 / 2\lambda(t)^2 \quad (29)$$

再配上相应的辅助势驱动布朗粒子做功

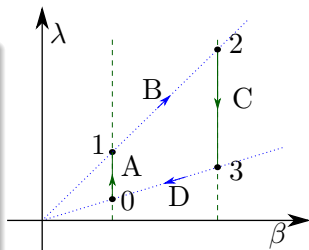


图 3: 类卡诺热机模型



类卡诺热机效率

类卡诺热机模型的假设

- 采用依赖于时间的谐振子势

$$U_0 = q^2 / 2\lambda(t)^2 \quad (29)$$

再配上相应的辅助势驱动布朗粒子做功

- 忽略绝热捷径过程的时间

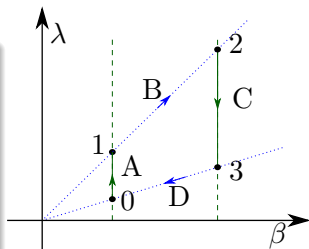


图 3: 类卡诺热机模型



类卡诺热机的功率与效率

类卡诺热机的功率与效率

- A. 等温膨胀

将式(??)和式(??)代入式(??)可得

$$Q_A = \beta_h^{-1} \ln \frac{\lambda_1}{\lambda_0} - \beta_h^{-1} C_h[\lambda_h(\tau)] \frac{1}{t_1} \quad (30)$$

其中 $C_h[\lambda_h(\tau)] \equiv \gamma \int_0^1 d\tau \left(\frac{d\lambda_h}{d\tau} \right)^2$,

$\lambda_h(\tau) \equiv \lambda(t_1\tau)$

- B. 绝热膨胀

同理可得

$$W_B = \Delta E_B = (\beta_c^{-1} - \beta_h^{-1}), \quad Q_B = 0 \quad (31)$$

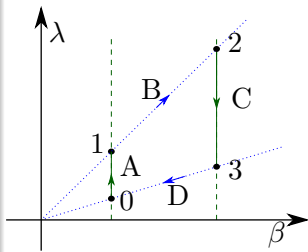


图 3: 类卡诺热机模型



类卡诺热机的功率与效率

类卡诺热机的功率与效率

• C. 等温压缩

$$Q_C = \beta_c^{-1} \ln \frac{\lambda_3}{\lambda_2} - \beta_c^{-1} C_c[\lambda_c(\tau)] \frac{1}{t_3} \quad (32)$$

其中 $C_c[\lambda_c(\tau)] \equiv \gamma \int_0^1 d\tau \left(\frac{d\lambda_c}{d\tau} \right)^2$,
 $\lambda_c(\tau) \equiv \lambda(t_3\tau + t_2 + t_1)$

• D. 绝热压缩

$$W_D = \Delta E_D = (\beta_h^{-1} - \beta_c^{-1}), \quad Q_D = 0 \quad (33)$$

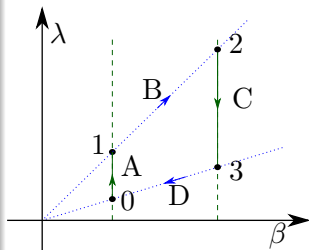


图 3: 类卡诺热机模型



类卡诺热机的功率与效率

则类卡诺热机的功率为

$$P = \frac{(\beta_h^{-1} - \beta_c^{-1}) \ln \frac{\lambda_1}{\lambda_0} - \left(\beta_h^{-1} C_h \frac{1}{t_1} + \beta_c^{-1} C_c \frac{1}{t_3} \right)}{t_1 + t_3} \quad (34)$$

效率为

$$\begin{aligned} \eta &= \frac{Q_A + Q_C}{Q_A} \\ &= 1 - \frac{\beta_c^{-1} \ln \frac{\lambda_1}{\lambda_0} + \beta_c^{-1} C_c \frac{1}{t_3}}{\beta_h^{-1} \ln \frac{\lambda_1}{\lambda_0} - \beta_h^{-1} C_h \frac{1}{t_1}} \end{aligned} \quad (35)$$



类卡诺热机的效率

优化 t_1, t_3 使得功率最大得

$$\eta^* = \frac{\eta_c \left[\sqrt{\chi(1 - \eta_c)} + 1 \right]}{2 - \eta_c + 2\sqrt{\chi(1 - \eta_c)}} \quad (36)$$

